

## کنترل تعقیب و مقاوم وضعیت ماهواره در مانورهای چرخشی با زاویه بزرگ بر اساس الگوریتم جدیدی از فیلتر کالمن توسعه یافته تخمین زن وضعیت

مهرداد جعفر بلند<sup>\*</sup>، ناصر ساداتی<sup>\*\*</sup> و حمید رضا مومنی<sup>\*\*</sup>

دانشکده مهندسی برق، دانشگاه صنعتی مالک اشتر

دانشکده مهندسی برق، دانشگاه صنعتی شریف

دانشکده فنی و مهندسی، دانشگاه تربیت مدرس

(دریافت مقاله: ۸۴/۱۱/۴ - دریافت نسخه نهایی: ۸۴/۲/۲۱)

**چکیده** — در این مقاله روش جدیدی در خصوص مسئله کنترل تعقیب مقاوم ماهواره برای مانور چرخشی با زاویه بزرگ ارایه می‌شود. مدل ماهواره مورد نظر، غیرخطی و دارای عدم قطعیت در پارامترهاست. متغیرهای حالت آن توسط مشاهده کننده، تخمین زده می‌شود. به عنوان یک روش جدید از ترکیب بخشی از فیلتر کالمن توسعه یافته گستته و بخشی از فیلتر کالمن توسعه یافته پیوسته و مدل غیرخطی وضعیت ماهواره، الگوریتمی کارا برای تخمین وضعیت ارایه می‌شود. دقت تخمین در این روش، پنج بار دقیقتر از سایر تخمین زنهای اخیری است که براساس فیلتر کالمن طراحی شده‌اند. در اینجا از کنترل کننده مدل لغزشی (با لایه مرزی تطبیقی و اصلاح شده) استفاده شده است. بایستی این کنترل کننده و مشاهده کننده مربوطه به تنها یک مقاوم باشند. علاوه بر آن، مقاوم بودن ترکیب این دو نیز ضروری است. برای مقاوم کردن این کنترل کننده در مقابل عدم قطعیت پارامترهای سیستم، از فیلتر کالمن مقاوم استفاده می‌شود و بر اساس جبر اینتروال برای متغیرهای حالت سیستم، یک کران حد بالا و یک کران حد پایین، تخمین زده می‌شود و با لحاظ کردن این کرانها در تعیین شرایط لغزشی کنترل کننده مدل لغزشی، پایداری کنترل کننده در ترکیب با مشاهده کننده به صورت همزمان تأمین می‌شود. نتایج شبیه‌سازی این روش برای مقادیر مختلف نامعینی (تا ۵۰٪) ارایه شده است.

**واژگان کلیدی:** کنترل وضعیت ماهواره، کنترل مدل لغزش، فیلتر کالمن، تخمین وضعیت، مشاهده کننده

\* - استادیار

\*\* - دانشیار

# Robust Tracking Control of Satellite Attitude Using New EKF for Large Rotational Maneuvers

M. Jafarboland, N. Sadati, and H. R. Momeni

Departments of Electrical Engineering, Malek-e-Ashtar University of Technology

Departments of Electrical Engineering, Sharif University Technology

Departments of Electrical Engineering, Tarbiat Modares University

**Abstract:** Control of a class of uncertain nonlinear systems, which estimates unavailable state variables, is considered. A new approach for robust tracking control problem of satellite for large rotational maneuvers is presented in this paper. The features of this approach include a strong algorithm to estimate attitude, based on discrete extended Kalman filter combined with a continuous extended Kalman filter and attitude nonlinear model, and a robust controller based on sliding-mode with perturbation estimation. Estimation accuracy in this method is five times higher than other recent approaches based on Kalman filter. We have used sliding-mode controller in this paper. Not only the controller and the corresponding observer but also their composition must be robust. To make this controller robust against the uncertainty of parameters, the robust Kalman filter is used. Based on interval algebra, an upper bound and a lower bound are estimated for state variables of the system and considering these bounds in indicating the sliding conditions, stability of the controller in combination with the observer will be satisfied simultaneously. The simulation results show the capability of this method in spite of different uncertainty levels (up to %50).

**Keywords:** Attitude control, Sliding mode control, Kalman filter, Attitude estimation, Observer

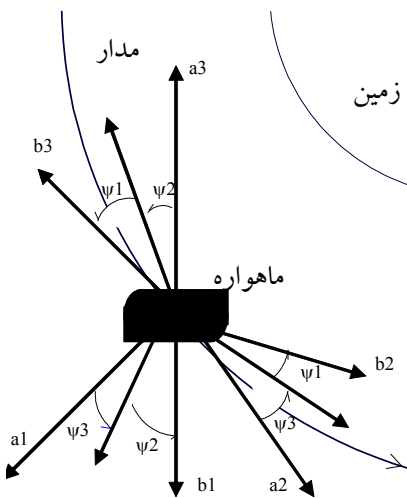
ماهواره‌ها ترجیح می‌دهند علی‌رغم بهره‌گیری از آن، به منظور تعیین وضعیت خودشان به سیستم مستقلی نیز مجهز باشند برای نمونه در [۳] بر اساس اطلاعات یک حسگر خورشید تک محوره و یک حسگر مگنتومتر سه محوره وضعیت ماهواره تخمین زده می‌شود و یا در [۴] علاوه بر حسگرهای ذکر شده، دوربین ستاره نیز وجود دارد. در ماهواره‌های مذکور آرایش‌های مختلفی از حسگرهای گوناگون وجود دارد که وضعیت ماهواره بر اساس اطلاعات آنها تخمین زده می‌شود. در [۵] با استفاده از فیلتر کالمن توسعه یافته روشی به نام حداقل مدل خطأ<sup>۱</sup> ارایه شده است و در [۶] روشی بنام حداقل پارامتر براساس حسگرهای فوق الذکر لحاظ شده است.

در زمینه تخمین وضعیت در ایران نیز کارهایی انجام گرفته است [۷ و ۸] و می‌توان از نظر دقت تخمین آنها را مقایسه کرد در هر دو مقاله زوایای وضعیت را با فیلتر کالمن توسعه یافته استاندارد تخمین زده‌اند و به ترتیب به دقیقی معادل ۱ و ۱/۱۴۶ درجه دست یافته‌اند. مقاله حاضر دارای دقیقی معادل ۰/۲ درجه است، در مقام مقایسه نتایج، در این مقاله

## ۱- مقدمه

جهان امروز بخش عمده‌ای از خدمات و فناوری خود را مرهون ماهواره‌های تجاری، مخابراتی، نظامی و پژوهشی است. به منظور ارایه این خدمات، بایستی ماهواره وضعیت خود را برروی مدار ثبت کند و علی‌رغم اغتشاشهای خارجی و نامعینی در پارامترهایش، سمت‌گیری دقیقی را داشته باشد در پاره‌ای از موارد ماهواره‌ها برای مأموریت‌های خاص به مانورهای بزرگ نیاز دارد. برای این منظور ماهواره‌ها نیازمند کنترل کننده‌های مقاومی‌اند که دینامیک غیرخطی چند ورودی چند خروجی همراه با نامعینی را با دقت کافی، کنترل کنند [۱].

دقت کنترل کننده‌ها به دقت تخمین مشاهده کننده وابسته است. لذا مسئله دیگر، طراحی مشاهده کننده‌ای است که بتواند وضعیت ماهواره را با دقت کافی از مشاهدات آلوهه به نویز به دست آورد. با وجودی که سیستم موقعیت جهانی<sup>۲</sup> برای تعیین وضعیت در اختیار ماهواره‌ها است [۲] اما برای افزایش اطمینان و همچنین به دلیل انحصاری بودن این سیستم، تمامی



شکل ۱- چرخش های ماهواره از دستگاه a به دستگاه b

فوق الذکر، برای مسئله تعقیب، دقیق تخمین نیز نزدیک به  $0/2$  درجه است.

## ۲- یاداوری

### ۱- تعیین وضعیت بدنه ماهواره ببروی مدار دایره‌ای

برای این منظور دو دستگاه مختصات زیر تعریف می‌شوند:  
دستگاه مدار (a): دستگاه مختصاتی است که در موقعیت ماهواره، ببروی مدار قرار می‌گیرد. محورهای آن عبارت‌اند از:  
a<sub>1</sub> - از مرکز زمین به سمت مرکز جرم ماهواره، a<sub>2</sub> - مماس بر مدار در جهت حرکت ماهواره و a<sub>3</sub> - عمود بر صفحه مدار دستگاه بدنه (b): دستگاه مختصاتی است که بر محورهای اصلی بدنه ماهواره منطبق است و محورهای آن به ترتیب b<sub>1</sub>, b<sub>2</sub>, b<sub>3</sub> هستند. [۱۳ و ۱۴]

در حالت مطلوب محورهای دو دستگاه فوق نظری به نظری برهم منطبق‌اند. برای تعیین انحراف چرخش ماهواره از وضعیت مطلوب می‌توان از سه زاویه  $\psi_1$  (سمت)،  $\psi_2$  (غلتش) و  $\psi_3$  (اوج) استفاده کرد. مطابق شکل (۱) به ترتیب، این چرخش‌ها در سه مرحله صورت می‌پذیرد ابتدا چرخش  $\psi_3$  حول محور b<sub>3</sub>, سپس چرخش  $\psi_2$  حول موقعیت جدید محور b<sub>2</sub> و نهایتاً چرخش  $\psi_1$  حول محور جدید b<sub>1</sub> است.

دقیق تخمین پنج برابر افزایش یافته است. روش [۷] فاقد سیستم کنترل است و در [۸] روشی برای مدل خطی براساس کنترل کننده LQG<sup>۳</sup> ارایه شده است. همان گونه که جان دویل<sup>۴</sup> در [۹] اثبات کرد، در روش LQG علی‌رغم اینکه کنترل کننده مشاهده‌کننده هر کدام به تنها یک بهینه و مقاوم طراحی می‌شوند اما ترکیب آنها می‌تواند نه بهینه باشد و نه مقاوم و فقط به شرطی که قطب‌های دو سیستم به اندازه کافی از هم دور باشند ضمن پایدار بودن به کنترل بهینه نزدیک است. در جهت بهبود این وضعیت برای سیستمهای خطی روش LQG/LTR<sup>۵</sup> پیشنهاد شد [۱۰ و ۱۱].

در این مقاله ساختاری جدیدی از ترکیب کنترل کننده مقاوم مد لغزشی با لایه مرزی تطبیقی (که قانون کنترل آن اصلاح شده) [۱۲] و مشاهده‌کننده کالمن توسعه یافته که در این مقاله مطرح می‌شود ارایه شده است. مشاهده‌کننده کالمن پیشنهادی نیز خود با ساختاری جدید از ترکیب فیلتر کالمن توسعه یافته پیوسته مقاوم، فیلتر کالمن توسعه یافته گسته مقاوم و مدل پیوسته وضعیت به وجود آمده است. این مشاهده‌کننده برای تخمین وضعیت از مشاهدات آلوده به نویز حسگر مگنتومتر و حسگر خورشید استفاده می‌کند و دقیق تخمین زوایای وضعیت را به  $0/2$  درجه می‌رساند، از طریق ترکیب آن با کنترل کننده مقاوم مد لغزشی

$\tilde{\omega}_j = \omega_j - \omega_{d,j}$  و  $\tilde{\Psi}_j = \Psi_j - \Psi_{d,j}$  برای ( $j=1,2,3$ ) تعریف می‌شوند. در شرایط عادی مقادیر مطلوب زوایای وضعیت، صفرنده ولی حین مانور، می‌توانند مقدار مطلوب دیگری باشند، بردار وروودی  $\underline{Y}$  شامل سه گشتاور کترل در راستای محورهای بدنی است.

### ۲-۳-۲- مدل حسگرها

در اینجا از یک حسگر مغناطیسی مگنتومتر و یک حسگر خورشید استفاده شده است.  $\underline{B}^b$  بردار میدان مغناطیسی زمین است که مطابق معادله (۲) در دستگاه بدنی توسط مگنتومتر اندازه‌گیری شده است [۱۵].

$$\underline{B}^b = R^{ab} \underline{B}^a + [\eta_{1(t)} \quad \eta_{2(t)} \quad \eta_{3(t)}]^T$$

$$R^{ab} = \begin{bmatrix} C\psi_3 \quad C\psi_2 \\ -S\psi_3 \quad C\psi_1 + C\psi_3 S\psi_2 S\psi_1 \\ S\psi_3 \quad S\psi_1 + C\psi_3 S\psi_2 C\psi_1 \\ \quad S\psi_3 C\psi_2 \quad -S\psi_2 \\ C\psi_3 C\psi_1 + S\psi_1 S\psi_2 S\psi_3 \quad C\psi_2 S\psi_1 \\ -C\psi_3 S\psi_1 + S\psi_3 S\psi_2 C\psi_1 \quad C\psi_2 C\psi_1 \end{bmatrix} \quad (2)$$

در اینجا  $\underline{B}^b$ ، بردار میدان مغناطیسی زمین در دستگاه مدار است و  $R^{ab}$ ، ماتریس انتقال از دستگاه مدار به دستگاه بدنی است.

مقدار اندازه‌گیری شده  $\underline{B}^b$  دارای نویز سفید گوسی بدون همبستگی با میانگین صفر و واریاس  $8 \text{ m}^3$  است که برای سه محور به ترتیب با  $\eta_{1(t)}, \eta_{2(t)}, \eta_{3(t)}$  مشخص شده‌اند.  $C$  معرف  $\cos$  و  $S$  معرف  $\sin$  است.

اگر حسگر خورشید دو محوره به گونه‌ای برروی بدنی ماهواره نصب شود که محور نرمال آن در جهت حرکت ماهواره باشد و دو محور  $X, Y$  آن در جهت محورهای  $b_1, b_3$  دستگاه بدنی قرار گیرد آن گاه با دو اندازه‌گیری راستای بردار پرتو خورشید نسبت به دستگاه بدنی مشخص می‌شود و با معلوم بودن راستای پرتو خورشید در دستگاه مدار برای اختلاف زوایای  $\Delta\alpha$  و  $\Delta\beta$  بر حسب زوایای وضعیت با

### ۲-۲- مدل غیرخطی وضعیت ماهواره

مدل غیرخطی وضعیت ماهواره برروی مدار دایره‌ای در یک میدان با گرانش مجدولی معکوس، در دستگاه بدنی ماهواره بدون لحاظ نویز به صورت معادله (۱) است [۱۳].

$$\dot{\underline{x}}(t) = \underline{f}(x) + g(x) \underline{u}(t) + \underline{T}_d(t)$$

$$; \underline{x}(t) = [\psi_1 \quad \psi_2 \quad \psi_3 \quad \omega_1 \quad \omega_2 \quad \omega_3] \quad (1-\text{الف})$$

$$\underline{Y}(t) = \underline{h}(\underline{x}(t))$$

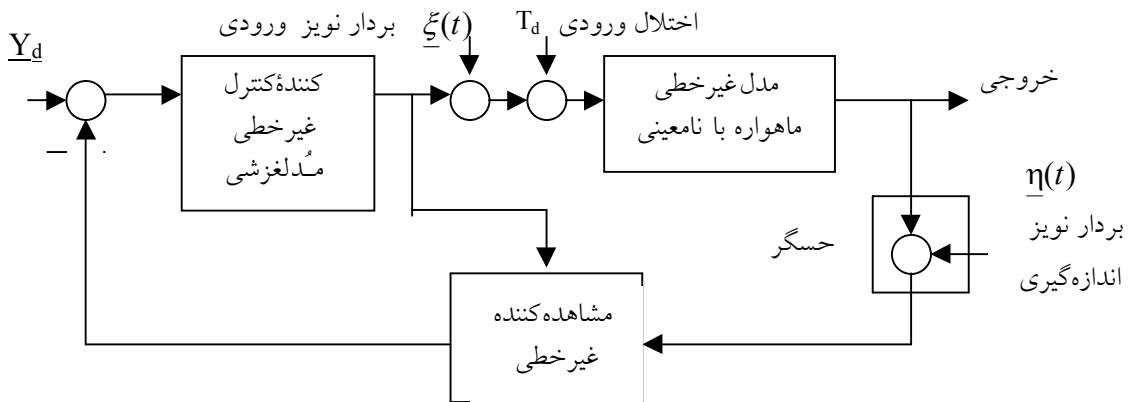
$$\underline{f}(x) = \begin{bmatrix} \omega_1 + (\omega_2 \sin(\psi_1) + \omega_3 \cos(\psi_1)) \tan(\psi_2) \\ \omega_2 \cos(\psi_1) - \omega_3 \sin(\psi_1) \\ ((\omega_2 \sin(\psi_1) + \omega_3 \cos(\psi_1))/\cos(\psi_2)) - \Omega \\ (I_3 - I_2)(\omega_3 \omega_2 - 3\Omega^2 z_3 z_2)/I_1 \\ (I_1 - I_3)(\omega_1 \omega_3 - 3\Omega^2 z_1 z_3)/I_2 \\ (I_2 - I_1)(\omega_1 \omega_2 - 3\Omega^2 z_1 z_2)/I_3 \end{bmatrix}$$

$$; \underline{T}_d(t) = \begin{bmatrix} 0 \\ 0 \\ 0 \\ T_{d1}(t)/I_1 \\ T_{d2}(t)/I_2 \\ T_{d3}(t)/I_3 \end{bmatrix} \quad (1-\text{ب})$$

$$\begin{bmatrix} z_1 \\ z_2 \\ z_3 \end{bmatrix} = \begin{bmatrix} \cos(\psi_3) \cos(\psi_2) \\ \cos(\psi_3) \sin(\psi_2) \sin(\psi_1) - \sin(\psi_3) \cos(\psi_1) \\ \cos(\psi_3) \sin(\psi_2) \cos(\psi_1) + \sin(\psi_3) \sin(\psi_1) \end{bmatrix}$$

$$; g(x) = \begin{bmatrix} 0 \\ I^{-1} \end{bmatrix} \quad (1-\text{ج})$$

در اینجا سرعت زاویه‌ای بدنی ماهواره، حول محورهای دستگاه بدنی به ترتیب با  $\omega_1, \omega_2$  و  $\omega_3$  مشخص شده‌اند. ماتریس ممان اینرسی به صورت قطری است و با نماد  $I$  مشخص می‌شود که مولفه‌های قطر آن به ترتیب  $I_1, I_2$  و  $I_3$  هستند.  $\Omega$  و  $\underline{T}_d$  به ترتیب، سرعت زاویه‌ای ماهواره برروی مدار و بردار اغتشاش خارجی هستند و  $\underline{x}$  بردار متغیر حالت است. زوایای  $\psi_1, \psi_2$  و  $\psi_3$  مولفه‌های بردار خروجی  $\underline{Y}$  هستند و بایستی برابر با مقدار مطلوب  $\underline{Y}_d$  حفظ شوند و خطای آن از معادله  $\underline{Y}_d = \underline{Y} - \tilde{\underline{Y}}_d$  مشخص می‌شود و به طور مشابه خطای زوایای وضعیت و سرعت زاویه‌ای به صورت



شکل ۲- نمودار جعبه‌ای سیستم حلقه بسته کنترل وضعیت برای تعقیب مسیر مطلوب

$$\underline{X} = [\mu_1 = \psi_1; \mu_2 = \dot{\psi}_1; \mu_3 = \psi_2; \mu_4 = \dot{\psi}_2; \mu_5 = \psi_3; \mu_6 = \dot{\psi}_3] \quad (4-ج)$$

در اینجا نماد  $L$ ، معرف اپراتور براکت، از ابزارهای ریاضی است. مجدداً معادلات وضعیت (۴) به صورت (۵) بازنویسی می‌شوند. در این مقاله زبه جای  $j=1,2,3$ ) به کار می‌رود. مقادیر تخمینی پارامترهای نامعین با  $\hat{I}_1, \hat{I}_2$  و  $\hat{I}_3$  مشخص می‌شوند و بدین طریق مطابق (۵) مقادیر تخمینی  $b$ ،  $\underline{f}$  و  $\hat{b}$ ،  $\hat{f}$  مطابق مقادیر نامعین آنها نیز با  $\Delta b$ ،  $\Delta f$  مشخص شده است.

$$\begin{aligned} \dot{\underline{X}}_l &= \underline{X}_2; & \underline{X}_l &= \underline{Y} = [\psi_1 \ \psi_2 \ \psi_3]^T \\ \underline{X}_2 &= \underline{f} + b \underline{u}; & \underline{f} &= [f_1 \ f_2 \ f_3]^T \\ \underline{u} &= [u_1 \ u_2 \ u_3]; \\ \underline{f} &= \hat{f} + \Delta f; & b &= \hat{b} + \Delta b \end{aligned} \quad (4-الف)$$

$$\begin{aligned} f_1 &= \dot{\omega}_{1f} + (\dot{\omega}_{2f} \sin \mu_1 + \omega_2 \mu_2 \cos \mu_1 + \dot{\omega}_{3f} \cos \mu_3 \\ &- \omega_3 \mu_4 \sin \mu_3) \operatorname{tg} \mu_3 + (\omega_2 \sin \mu_1 + \omega_3 \cos \mu_3) \dot{\mu}_4 (1 + \operatorname{tg}^2 \mu_3) \\ f_2 &= \dot{\omega}_{2f} \cos \mu_1 - \omega_2 \mu_2 \sin \mu_1 - \dot{\omega}_{3f} \sin \mu_1 - \omega_3 \mu_2 \cos \mu_1 \\ f_3 &= [(\dot{\omega}_{2f} \sin \mu_1 + \omega_2 \mu_2 \cos \mu_1 + \dot{\omega}_{3f} \cos \mu_1) / \cos^2 \mu_2 \\ &- \omega_3 \mu_2 \sin \mu_1] \cos \mu_3 + \mu_4 \sin \mu_3 (\omega_2 \sin \mu_1 + \omega_3 \cos \mu_1)] / \cos^2 \mu_2 \\ \dot{\omega}_{1f} &= (I_2 - I_3) (\omega_2 \omega_3 - 3 \Omega^2 y z) + T c_1 / I_1 \\ \dot{\omega}_{2f} &= (I_3 - I_1) (\omega_1 \omega_3 - 3 \Omega^2 z x) + T c_2 / I_2 \\ \dot{\omega}_{3f} &= (I_1 - I_2) (\omega_1 \omega_2 - 3 \Omega^2 x y) + T c_3 / I_3 \end{aligned} \quad (4-ب)$$

احتساب نویز، معادله (۳) به دست می‌آید. در صورت استفاده از حسگر تک محوره خورشید یکی از روابط موجود در (۲۴-۸) در اختیار است [۸].  $\eta_4(t)$  و  $\eta_5(t)$  نویز حسگر خورشید هستند که مشخصاتی مشابه مگنتومتر دارند. در اینجا واریانس آنها را با  $\delta_s^2$  مشخص می‌کنیم.

$$\cos(\Delta\alpha + \eta_4(t)) = \cos(\psi_2) \cos(\psi_3) \quad (4-الف)$$

$$\cos(\Delta\beta + \eta_5(t)) = \cos(\psi_2) \cos(\psi_1) \quad (4-ب)$$

### ۳- ساختار کنترل کننده و مشاهده کننده غیرخطی برای مسئله تعقیب

ساختار ارتباطی کنترل کننده و مشاهده کننده به صورت شکل (۲) است و هر یک در زیر تشریح می‌شوند.

#### ۱-۳- ساختار کنترل کننده مدل‌لغزشی

کنترل کننده مطابق [۱۳] است که براساس مدل‌لغزشی طراحی شده است در اینجا بعضی روابط ضروری ارایه می‌شوند. معادلات مندرج در (۱) از طریق پس‌خور خطی سازی ورودی- خروجی، مطابق (۴) به شکل کانونیکال فاز تبدیل می‌شوند.

$$\dot{\underline{X}}(t) = \underline{f}(X, t) + b(X) \underline{u}(t) \quad (4-الف)$$

$$\begin{aligned} f_j(X, t) &= L_f^{r_j} h_j(X), (j=1,2,3) \\ ; b_{j,k}(X) &= L_g^{r_{j-1}} L_f^{r_j} h_j(X), (j, k=1,2,3) \end{aligned} \quad (4-ب)$$

دراينجا هر عنصر با زير نويس ز به محور Z تعلق دارد،  $B_{ij}^d$  ( $i,j = 1,2,3$ ) مولفه های ماتريis  $B = b \hat{b}^{-1}$  هستند و زير نويس Min و Max به ترتيب معرف حداقل و حداکثر آن کميّت است [13]. لازم به توضيح است اگر تمام  $P_j$  صفر باشند بازهم  $S_j \dot{S}_j$  منفي است و سیستم پايدار است در اين روش اين قابلیت وجود دارد که با افزایش  $P_j$  سرعت ورود مسیر به لایه مرزی را کنترل کرد. برای تحقق هدف دوم شرط لغشی نیازی نیست و می توان پارامترها را به نحوی طراحی کرد که  $\dot{S}_j$  حداقل شود تا به مسیر مطلوب نزدیکتر شود.

**۳-۱-۱- اثر پارامترهای  $P$  و  $\lambda$  در هدف دوم**  
چنانچه برای مثال معادله دینامیک سطح لغشی در داخل لایه مرزی  $\phi_1$  نوشته شود

$$\begin{aligned}\dot{S}_1 + (B_{11\text{Max}})_d \frac{P_1 + \bar{K}_{1d}}{\phi_1} S_1 &= \\ -\Delta f_1 - (1 - B_{11\text{Max}})_d \hat{u}_1 &+ (B_{12\text{Min}})_d \hat{u}_2 + (B_{13\text{Min}})_d \hat{u}_3\end{aligned}$$

مقدار ویژه اين معادله به صورت  $(B_{11\text{Max}})_d (P_1 + \bar{K}_{1d}) / \phi_1$  است که فرکانس شکست را مشخص می کند (E ماتريis واحد است). هر چقدر اين فرکانس بزرگتر باشد، بهره حلقه بسته بزرگتر است و علاوه بر کاهش سرعت  $\dot{S}_j$  و کاهش خطای تعقیب، تقلیل اثر اغتشاشهای ورودی و خروجی در پهنهای باند وسیعتری انجام می گیرد و سیستم مقاومتر می شود. اما حداکثر مقدار اين فرکانسها به واسطه نویز فرکانس بالاي سیستم اندازه گيري و دینامیکهای مدل نشده فرکانس بالاي سیستم، محدود می شوند. هر چقدر تجهیزات اندازه گيري دقیقتر به کار روند (تا نویز اندازه گيري کاهش یابد) و همچنین مدل وضعیت بدنه ماهواره در فرکانس های بالا دقیقتر شود، می توان، پارامتر  $P$  را بزرگتر اختیار کرد.

همچنین بابت انتخاب مناسب  $\bar{K}_{1d} = (\lambda_1 - (B_{11\text{Max}})_d P_1) / (B_{11\text{Max}})_d$

سه سطح لغشی متغیر با زمان به صورت ( $j=1,2,3$ )  
 $S_j = (D + \lambda_j)^2 \int_0^t \tilde{x}(r) dr$  بردار قانون کنترل به صورت  $\underline{u} = (\hat{b})^{-1} (\underline{u} - P \underline{S} - \bar{K} \text{Sat}(\underline{S} / \underline{\phi}))$  هستند. در اينجا ماتريis ثابت با عناصر مثبت،  $P = \text{diag}(P_1 P_2 P_3)$   
 $\underline{S} = [S_1 S_2 S_3]^T$  بردار لایه مرزی و  $\bar{K} = [\bar{K}_1 \bar{K}_2 \bar{K}_3]$  به ترتيب لغش است و عناصر بردار  $K_1, K_2, K_3$  تعریف می شوند، پارامترهای  $P_3, P_2, P_1, \lambda_3, \lambda_2, \lambda_1, k_3, k_2, k_1$  از طراحی کننده تعیین می شوند.

برای طراحی کنترل کننده دو هدف مد نظر است. هدف اول: اگر مسیر حالت  $\underline{z}$  خارج لایه مرزی  $\underline{\phi}$  باشد با سرعتی مناسب وارد لایه مرزی شود. هدف دوم: اگر مسیر حالت داخل لایه مرزی هست،  $S_j$  حداقل شود تا مسیر حالت به صورت مجاني به سمت مسیر مطلوب حرکت کند. برای تحقق هدف اول بايستی  $S_j \dot{S}_j$  منفي باشد که به شرط لغشی (۶) منجر می شود. برای اين منظور شروط معادله (۷) به دست می آيدن.

$$(1/2)(d S_j^2 / dt) \leq (\dot{\phi}_j - \eta_j) |S_j| - P_1 S_j^2 ; \quad (j=1,2,3) \quad (7)$$

$$K_1 \geq (F_1 + \eta_1 + |(1 - B_{11})_{\text{Max}}| |\hat{U}_1| + |B_{12\text{Max}} \hat{U}_2| + |B_{13\text{Max}} \hat{U}_3|) / B_{11\text{Min}} \quad (\text{الف})$$

$$K_2 \geq (F_2 + \eta_2 + |(1 - B_{22})_{\text{Max}}| |\hat{U}_2| + |B_{21\text{Max}} \hat{U}_1| + |B_{23\text{Max}} \hat{U}_3|) / B_{22\text{Min}} \quad (\text{ب})$$

$$K_3 \geq (F_3 + \eta_3 + |(1 - B_{33})_{\text{Max}}| |\hat{U}_3| + |B_{31\text{Max}} \hat{U}_1| + |B_{32\text{Max}} \hat{U}_2|) / B_{33\text{Min}} \quad (\text{ج})$$

$$\text{IF } \dot{\phi}_j \geq 0 \Rightarrow \bar{K}_j = K_j - \dot{\phi}_j / B_{jj\text{Max}} \quad (j=1,2,3) \quad (\text{د})$$

$$\text{IF } \dot{\phi}_j \leq 0 \Rightarrow \bar{K}_j = K_j - \dot{\phi}_j / B_{jj\text{Min}} \quad (j=1,2,3)$$

$$\begin{aligned}\text{IF } \dot{\phi}_j > 0 \Rightarrow \dot{\phi}_j + (\lambda_j - (B_{jj\text{Max}})_d P_1) \phi_j &= (B_{jj\text{Max}})_d K_{jd} \quad (j=1,2,3)\\ \text{IF } \dot{\phi}_j < 0 \Rightarrow \dot{\phi}_j + \frac{(B_{jj\text{Min}})_d}{(B_{jj\text{Max}})_d} (\lambda_j - (B_{jj\text{Max}})_d P_1) \phi_j &= (B_{jj\text{Max}})_d K_{jd} \quad (j=1,2,3)\end{aligned}$$

$$(\text{ه})$$

$$\underline{x}_{k+1} = \underline{f}'_k(\underline{x}_k) + b'_k \underline{u}'_k + \Gamma_k(\underline{x}_k) \underline{\xi}_k \quad (9)$$

$$\begin{aligned} \underline{f}'_k(\underline{x}_k) &= \underline{x}_k + f(\underline{x})\Delta t; b'_k = b(\underline{x})\Delta t \\ ; \Gamma_k(\underline{x}_k) &= \Gamma(\underline{x})\Delta t \end{aligned} \quad (9)$$

$$\begin{aligned} \underline{f}'_k(\underline{x}_k) &\cong \underline{f}'_k(\hat{\underline{x}}_k) + A_k (\underline{x}_k - \hat{\underline{x}}_k) \\ ; A_k &= \left[ \frac{\partial \underline{f}'_k}{\partial \underline{x}_k}(\hat{\underline{x}}_k) \right] \end{aligned} \quad (10)$$

$$\begin{aligned} \underline{h}_k(\underline{x}_k) &\cong \underline{h}_k(\hat{\underline{x}}_{k|k-1}) + C_k (\underline{x}_k - \hat{\underline{x}}_{k|k-1}) \\ ; C_k &= \left[ \frac{\partial \underline{h}_k}{\partial \underline{x}_k}(\hat{\underline{x}}_{k|k-1}) \right] \end{aligned} \quad (10)$$

با استفاده از دو فرض زیر و معادله (10)، معادله (9) به شکل خطی (11) بازنویسی می‌شود.

$$\begin{aligned} \underline{u}_k &= \underline{f}'_k(\hat{\underline{x}}_{k|k}) - A_k \hat{\underline{x}}_{k|k} + b_k \underline{u}'_k \\ ; \underline{W}_k &= \underline{Y}_k - \underline{h}_k(\hat{\underline{x}}_{k|k-1}) + C_k \hat{\underline{x}}_{k|k-1} \end{aligned} \quad (11)$$

$$\underline{x}_{k+1} = A_k \underline{x}_k + \underline{u}_k + \Gamma_k \underline{\xi}_k \quad (11)$$

$$\underline{W}_k = C_k \underline{x}_k + \underline{\eta}_k \quad (11)$$

ماتریسهای  $C_k, A_k$  متعلق به سیستم و مشاهده کننده‌اند و بردارهای  $\underline{\xi}_k$  و  $\underline{\eta}_k$  به ترتیب نویزهای سیستم و اندازه‌گیری‌اند. برای دو نویز گوسی اطلاعات زیر در اختیار است [۱۷].

الف: میانگین آنها صفر است ( $E(\underline{\xi}_k) = E(\underline{\eta}_k) = 0$ )

ب: رشته‌های  $\{\underline{\xi}_k\}$ ،  $\{\underline{\eta}_k\}$  سفید هستند. به عبارتی برای

$$\text{Cov}(\underline{\xi}_k, \underline{\xi}_j) = R_{kj} \delta_{kj} \quad \text{برقرار باشد}$$

که در آن  $\delta_{kj}$  به ازای  $j = k$  برابر یک است و به ازای

$j \neq k$  برابر صفر است و به طور مشابه برای رشته نویز

$$\text{Cov}(\underline{\eta}_k, \underline{\eta}_j^T) = Q_k \quad \text{صادق است.}$$

ج: نویز‌ها از حالت اولیه  $X$  مستقل‌اند

$$(E(\underline{x}, \underline{\xi}_k^T) = E(\underline{x}, \underline{\xi}_k^T) = 0)$$

در این صورت معادلات الگوریتم بازگشتی این فیلتر به

صورت (۱۲) می‌باشد، که در آن  $G$  ماتریس بهره کالمن و  $P$

ماتریس کوواریانس است.  $\hat{\underline{x}}_{k|k-1}$ ، بردار پیشگویی بهینه در

مرحله  $k$  بر اساس اطلاعات مرحله  $k-1$  است و  $\hat{\underline{x}}_{k|k}$ ، بردار

تخمین در مرحله  $k$  بر اساس اطلاعات تا مرحله  $k$  است.

$$G_k = P_{k,k-1} C_k^T (C_k P_{k,k-1} C_k^T + R_k)^{-1} \quad (12)$$

$$P_{k,k} = (I - G_k C_k) P_{k,k-1} \quad (12)$$

فرکانس گوشة فیلتر پایین‌گذر مرتبه دوم هستند که فرکانس‌های نامعینی بالاتر از  $\lambda$  حذف می‌شوند افزایش این پارامتر دقیق تعقیب را افزایش می‌دهد [۶] و در عین حال چنانچه این پارامتر افزایش یابند، احتمال دارد دینامیکهای فرکانس بالای مدل نشده سیستم به نوسان درآورد

### ۲-۳- ساختار مشاهده کننده (تخمین زن کالمن)

این مشاهده کننده پیشنهادی بر اساس ترکیبی از فیلتر کالمن توسعه یافته پیوسته و فیلتر کالمن توسعه یافته گستته و مدل پیوسته دینامیک غیرخطی سیستم عمل می‌کند. مدل وضعیت و اندازه‌گیری، همراه با نویز سیستم و حسگرهای اندازه‌گیری به صورت معادله (۸) ارایه شده است. در اینجا  $k$  معرف اندازه‌گیری گستته است. در ادامه ابتدا روابط دو فیلتر فوق الذکر ارایه و سپس ساختار فیلتر پیشنهادی مطرح می‌شود.

$$\dot{\underline{x}}(t) = \underline{f}(\underline{x}(t)) + b(\underline{x}(t)) u(t) + \Gamma(\underline{x}) \underline{\xi}(t) \quad (8)$$

$$\underline{X}(t) = [\psi_1 \ \psi_2 \ \psi_3 \ \omega_1 \ \omega_2 \ \omega_3]^T$$

$$\underline{Y}_k = \underline{h}_k(\underline{x}_k) + \underline{\eta}_k;$$

$$\underline{f} = [f_1 \ f_2 \ f_3 \ \dot{\omega}_{1f} \ \dot{\omega}_{2f} \ \dot{\omega}_{3f}]^T$$

$$\underline{Y}_k = [B_1^b[k] \ B_2^b[k] \ B_3^b[k] \ \Delta\alpha]^T;$$

$$\underline{\eta}_k = [\eta_1[k] \ \eta_2[k] \ \eta_3[k] \ \eta_4[k]]^T$$

$$\begin{aligned} \underline{h}_k(\underline{x}_k) = & \begin{bmatrix} B_1^a C \psi_3 C \psi_2 + B_2^a S \psi_3 C \psi_2 - B_1^a S \psi_2 \\ B_1^a (-S \psi_3 C \psi_1 + C \psi_3 S \psi_2 C \psi_1) + B_2^a (C \psi_3 C \psi_1 + S \psi_3 S \psi_2 S \psi_1) + B_3^a C \psi_2 S \psi_1 \\ B_1^a (S \psi_3 S \psi_1 + C \psi_3 S \psi_2 C \psi_1) + B_2^a (-C \psi_3 S \psi_1 + S \psi_3 S \psi_2 C \psi_1) + B_3^a C \psi_2 C \psi_1 \\ C^{-1}(C \psi_2 C \psi_3) \end{bmatrix} \end{aligned}$$

در اینجا  $f_1 f_2 f_3 \dot{\omega}_{1f} \dot{\omega}_{2f} \dot{\omega}_{3f}$  مطابق (۵)-ب) هستند و برای ( $j=1, 2, 3$ ) منظور از  $\psi_j[k]$  همان  $\psi_j$  است.

### ۲-۴- فیلتر کالمن گستته توسعه یافته

فرایند فوق به صورت غیرخطی فوق در فضای حالت به صورت (۹) است. از بسط تیلور مرتبه اویلر  $\dot{\underline{f}}_k$  و  $\underline{h}_k$  معادلات (۱۰) به دست می‌آیند. در اینجا زیرنویس  $k$  معرف زمان  $kT$  است و  $T$  پریود نمونه برداری است.

فواصل  $T$  در اختیار هستند. اماً کنترل کننده به اطلاعات پیوسته نیاز دارد. در زیر روش‌های مرسوم در بندهای الف و ب آورده شده‌اند و روش پیشنهادی این رساله در بند ج ارایه می‌شود.

### ۳-۲-۳-۱- الگوریتم‌های فیلتر کالمون توسعه یافته

**روش الف:** فقط از فیلتر کالمون توسعه یافته گسته استفاده می‌شود. برای این منظور فاصله زمانی  $T$ ، به  $N$  مرحله تقسیم می‌شود. برای  $N-1$  مرحله از مراحل بین دو اندازه‌گیری، مشاهده واقعی وجود ندارد. و فقط در یک مرحله مشاهده واقعی وجود دارد. برای حل این مشکل بر اساس اطلاعات تخمینی مرحله قبل، مشاهدات مصنوعی محاسبه می‌شوند، از آنجا که این مشاهدات مصنوعی، شامل فرایند اتفاقی نیست، برای این مراحل فرایند نرم است. [۱۸].

**روش ب:** فقط از فیلتر کالمون توسعه یافته پیوسته استفاده می‌شود. از آنجا که توابع دیفرانسیلی و پیوسته (۱۵-الف) و (۱۵-ب)، در رایانه به صورت گسته حل می‌شوند، مجدداً فاصله زمانی  $T$ ، به  $N$  قسمت تقسیم می‌شود و این فرایند فقط در یک مرحله از  $N$  مرحله متواالی، دارای مشاهده واقعی آلوده به نویز است و برای  $N-1$  مرحله باقی‌مانده، از مشاهده مصنوعی استفاده می‌کند [۱۹].

**روش ج:** روش این رساله که از تلفیق اول- قسمتی از فیلتر کالمون توسعه یافته گسته دوم- قسمتی از روابط فیلتر کالمون توسعه یافته پیوسته سوم- مدل غیرخطی و مقاوم سیستم، مطابق نمودار جعبه‌ای (۳) است.

**۳-۲-۳-۲-۳- نارسایی و مزایای الگوریتم‌های فیلتر کالمون توسعه یافته**  
**نارسایی روش الف:** چون مدل غیرخطی است، برای استفاده از فیلتر کالمون توسعه یافته، در تمامی مراحل از بسط تیلور تا مشتق مرتبه اوّل استفاده شده است که دارای خطاست. همچنین مطابق (۱۲-الف) نیاز به وارون گرفتن دارد در این صورت اجباراً  $N$  عدد کوچکی می‌شود و خطای تقریب بسط تیلور بیشتر می‌شود.

$$P_{k,k-1} = A_{k-1} P_{k-1,k-1} A_{k-1}^T + \Gamma_{k-1} Q_{k-1} \Gamma_{k-1}^T \quad (12-ج)$$

$$\hat{x}_{k|k-1} = A_{k-1} \hat{x}_{k-1|k-1} + u_{k-1} \quad (12-د)$$

$$\hat{x}_{k|k} = \hat{x}_{k|k-1} + G_k (\underline{Y}_k - h_{(k)} \hat{x}_{k|k-1}) \quad (12-ه)$$

### ۳-۲-۲-۲- فیلتر کالمون پیوسته توسعه یافته

سیستم غیرخطی پیوسته و متغیر با زمان (۸) را در نظر بگیرید. واریانس نویزها در حالت پیوسته مطابق (۱۳) است همچنین معادله ماتریس‌های  $Q$ ،  $R$  مربوط به زمان پیوسته با مقادیر آنها در حالت ناپیوسته به شرط کوچک بودن  $\Delta t$  در (۱۳) ارایه شده‌اند.

$$E(\underline{\xi}_{(t)} \underline{\xi}_{(t)}^T) = Q \delta(t-t) \quad (13)$$

$$; E(\underline{\eta}_{(t)} \underline{\eta}_{(t)}^T) = R \delta(t-t) \quad (13)$$

$$; Q_k = Q \Delta t ; R_k = R / \Delta t$$

با جای‌گذاری (۱۳) در (۱۲-الف) و صرف نظر کردن از جملة  $C_k P_{k,k-1} C_k^T$  در مقابل  $R / \Delta t$ ، معادله (۱۴) به دست می‌آید

$$G = P C R^{-1} ; \quad G_k = G \Delta t \quad (14)$$

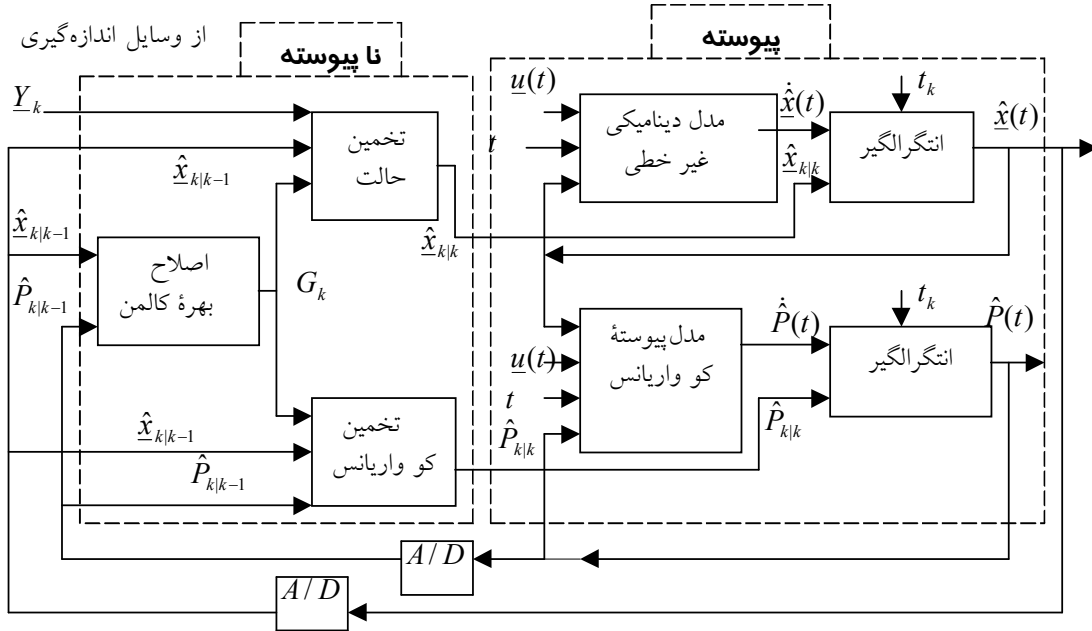
با استفاده از (۱۲-ج) برای  $P_{k+1,k}$  و جای‌گذاری  $P_{k|k}$  از (۱۲-ب) و استفاده از معادله  $(I + A \Delta t) = A_k$  و حذف جملات شامل  $\Delta t^2$ ، برای  $\Delta t$  کوچک، معادله (۱۵-الف) در حاصل می‌شود. به طور مشابه با جای‌گذاری (۱۲-د) در (۱۲-ه) و استفاده از  $A_{k-1} = (I + A \Delta t)$  برای  $\Delta t$  کوچک، معادله (۱۵-ب) حاصل می‌شود [۱۷].

$$\dot{P}_{(t)} = A_{(t)} P_{(t)} + P_{(t)} A_{(t)}^T - P_{(t)} C_{(t)}^T R_{(t)}^{-1} C_{(t)} P_{(t)} + \Gamma'_{(t)} Q_{(t)} \Gamma'_{(t)}^T \quad (15-الف)$$

$$\dot{\hat{x}}_{(t)} = f(\hat{x}_{(t)}) + b_{(t)} u_{(t)} + G_{(t)} (\underline{Y}_{(t)} - g(\hat{x}_{(t)})) \quad (15-ب)$$

### ۳-۲-۳- ساختار مشاهده کننده پیشنهادی

اطلاعات اندازه‌گیری شده آلوده به نویز فقط در فواصل زمانی  $T$  در اختیارند و چنانچه مستقیماً از فیلتر کالمون گسته استفاده شود مقادیر وضعیت نیز به صورت گسته و فقط در



شکل ۳- الگوریتم پیشنهادی برای فیلتر کالمون توسعه یافته (مشاهده کننده)

وجود دارد: از فیلتر کالمون توسعه یافته گسته که دقیق‌تر استفاده می‌شود.

#### ۲-۴- آزمایش مشاهده کننده

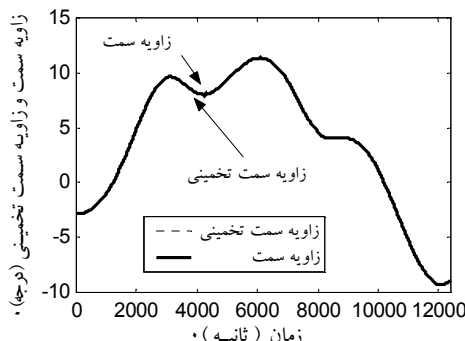
برای شبیه سازی از همان ماهواره مندرج در [۱۳] که مجهز به یک حسگر مغناطیسی و یک حسگر خورشید است استفاده می‌شود در آن مقاله مشاهدات بدون نویز فرض شده بودند. در اینجا نویزهای اندازه‌گیری مربوطه که به صورت نویز سفید با تابع چگالی گوسی، میانگین صفر و به ترتیب با  $\delta_s = 0.005 \text{ deg.}$  و  $\delta_m = 3 \times 10^{-8} \text{ T}$  می‌شود. مقادیر مانهای اینرسی به صورت  $\text{diag}(I) = [70.53 \ 175 \ 183] \text{ Nms}^2$  هستند. مقادیر زوایای وضعیت واقعی و مقادیر تخمین برای شرایط اولیه غیرصفر در شکلهای (۴) الی (۷) رسم شده‌اند. با توجه به این شکلهای ملاحظه می‌شود پس از میرا شدن خطای اولیه، حداقل خطای تخمین در بدترین حالت، کمتر از  $2^\circ$  درجه است (در حالتی که ماهواره مانور ندارد، خطای تخمین کمتر از  $0.005^\circ$  درجه است)، توجه شود که در مراجع [۱۸ و ۱۹] دقیق زوایای تخمین

نارسایی روش ب: علاوه بر شکلهای روش الف، در محاسبه ماتریس کواریانس ( $P$ ) خطای بیشتری وجود دارد چون از جملات شامل  $\Delta t^2$  صرف نظر می‌شود. اماً چون نیازی به وارون گرفتن از ماتریس ندارد، می‌تواند  $N$  بزرگ‌تر از حالت گسته باشد.

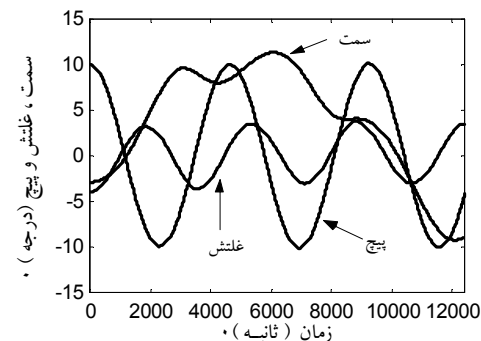
مزایای روش ج: هر مرحله از فیلتر کالمون شامل دو گام است، ابتدا پیشگویی  $\hat{x}_{k|k-1}$  بر اساس  $\hat{x}_{k-1|k-1}$  انجام می‌شود و سپس تخمین  $\hat{x}_{k|k}$  از روی  $\hat{x}_{k|k-1}$  به دست می‌آید این دو گام را به ترتیب گام پیشگویی و گام تخمین می‌نامیم.

- در  $N-1$  مرحله از  $N$  مرحله‌ای که از فیلتر کالمون استفاده می‌شود و بردار مشاهده‌ای وجود ندارد: در این مرحله برای گام پیشگویی حالت از (۸-الف) استفاده می‌شود تا دقیق پیشگویی افزایش می‌یابد. و برای گام تخمین حالت از (۸-الف) استفاده می‌شود، تا محاسبه ماتریس کواریانس سریعتر شود در این صورت می‌توان  $N$  را بزرگ‌تر انتخاب کرد.

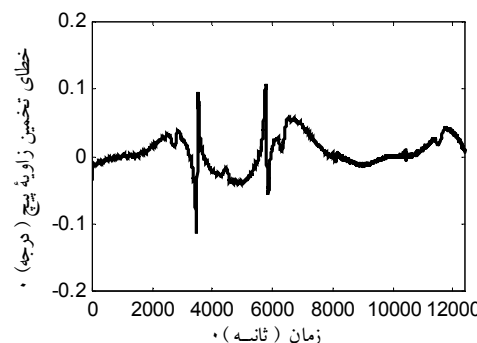
- در یک مرحله استفاده از فیلتر کالمون که بردار مشاهده



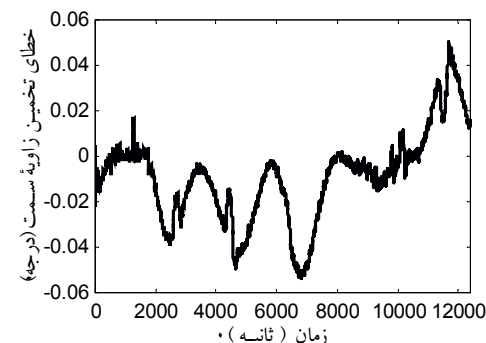
شکل ۵- زاویه سمت واقعی و تخمینی



شکل ۶- زوایای وضعیت واقعی



شکل ۷- خطای تخمین زاویه پیچ



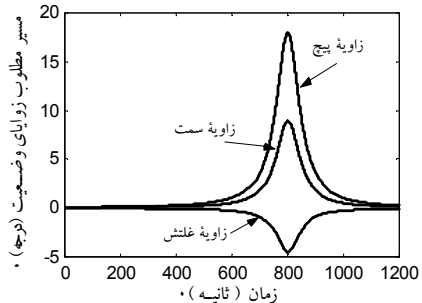
شکل ۸- خطای تخمین زاویه سمت

اما مسئله تقریبی بودن متغیرهای سیستم و تاثیر پذیری آنها از عدم قطعیت لحاظ نشده است و مشابه تمامی کنترل‌کننده‌ها در صورت ترکیب با مشاهده‌کننده، با مشکلات جدیدی روبرو می‌شوند. در این مقاله بدلیل خصوصیات ویژه کنترل کننده مدل لغزشی روشنی برای مقاوم کردن این ترکیب ارایه می‌شود. ایده اصلی این گونه است که براساس جبر ایتروال [۱۷] که در مباحث فیلتر کالمون مقاوم مطرح می‌شود در هر مرحله استفاده از فیلتر کالمون برای هر متغیر حالت (زاویه وضعیت) دو کران حد بالا و حد پایین تخمین زده می‌شود و هنگام محاسبه پارامترهای کنترل‌کننده لغزشی، یعنی ( $j = 1, 2, 3$ )  $F_j$  (حداکثر دامنه نامعینی  $f_j$ ) برای بدترین حالت (بزرگترین مقدار) درنظر گرفته می‌شود. در این صورت اگر مقادیر ( $j = 1, 2, 3$ )  $K_j$  مطابق معادله (۷) محاسبه شوند، مسئله خطای تخمین متغیرهای حالت (ناشی از عدم قطعیت) نیز در شرط لغزشی لحاظ شده است و پایداری ترکیب کنترل‌کننده و مشاهده‌کننده تامین می‌شود. این نکته کلید اصلی مقاوم بودن این روش پیشنهادی

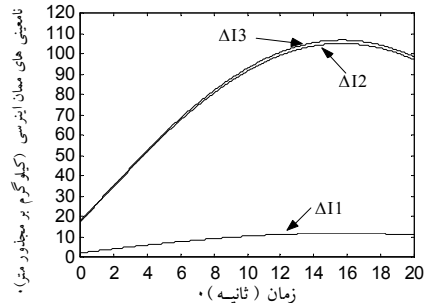
کمتر از یک درجه گزارش شده است. در این صورت دقت پنج برابر شده است. قابل ذکر است در این آزمایش واریانس نویز مگنیتومتر سه برابر مقدار استاندارد است و اگر به  $300$  برابر نیز افزایش یابد همچنان دقت  $0.2$  درجه حفظ می‌شود.

#### ۴- ترکیب کنترل کننده و مشاهده‌کننده غیرخطی مقاوم پیشنهادی برای مسئله تعقیب

اگر برای متغیرها و پارامترهای سیستم که دارای عدم قطعیت‌اند تخمین مناسبی انجام پذیرد و شرایط لغزشی ارضا شوند، مقاوم بودن کنترل‌کننده مدل لغزشی بر اساس پایداری لیاپانفی تضمین می‌شود. اما باید توجه داشت که در روش مدل لغزشی استاندارد فقط پارامترهای سیستم دارای عدم قطعیت‌اند و برای غلبه براین نامعینها ( $j = 1, 2, 3$ )  $f_j$  در (۴-ج) به صورت ( $j = 1, 2, 3$ )  $\hat{f}_j$  تخمین زده می‌شوند. کران خطای این تخمین را به صورت ( $| \hat{f}_j - f_j | \leq F_j$ ) می‌دانیم



شکل ۹- مسیر مطلوب زوایای وضعیت



شکل ۱۰- نامعینی با دامنه ۱۰٪ و فرکانس ۰/۰۱۶ هرتز

عدم قطعیت اند از جبر ایتروال جایگذاری شود به عنوان مثال معادله (۱۰) به صورت معادله (۱۸-الف) است، در واقع این سیستم به دو زیرسیستم حد بالا مطابق (۱۸-ب) با علامت + و زیرسیستم حد پایین مطابق (۱۸-ب) با علامت -، تقسیم می‌شود که پاسخ بهینه بین پاسخ این دو زیرسیستم است [۱۷].

$$\underline{x}_{k+1} = A_k^I \underline{x}_k + u_k + \Gamma_k^I \xi_k \quad (18-\text{الف})$$

$$; \underline{Y}_k = C_k^I \underline{x}_k + \eta_k$$

$$\underline{x}_{k+1} = [A_k \pm |\Delta A_k|] \underline{x}_k + u_k + [\Gamma_k \pm |\Delta \Gamma_k|] \xi_k$$

$$; \underline{Y}_k = [C_k \pm |\Delta C_k|] \underline{x}_k + \eta_k \quad (18-\text{ب})$$

## ۵- آزمایش ترکیب کنترل کننده و مشاهده کننده

### غیرخطی مقاوم پیشنهادی برای مسئله تعقیب

در اینجا از ماهواره‌ای با مشخصات مندرج در [۱۳] استفاده شده است. اغتشاش خارجی مطابق (۱۹) و نامعینی مطابق شکل (۸) است. مسیر مطلوب مانور وضعیت مشابه شکل (۹) با حداقل زاویه مانور ۱۸ درجه است.

از کنترل کننده لغزشی پیشنهاد شده در این مقاله و مشاهده کننده وضعیت با الگوریتم ج استفاده شده نتایج آزمایش که شامل

$$T_d = 1e-4 [-\sin(\Omega t) \cos(\Omega t) - \sin(\Omega t + \pi/4)]^T \text{ (N.m)} \quad (19)$$

خطای تعقیب زوایای وضعیت ( $\underline{\psi}_d - \underline{\psi}_m$ )، خطای تخمین وضعیت ( $\underline{\psi}_m$ ) مقدار لغزش  $S_1$  و لایه مرزی تطبیقی  $\phi_1$  و گشتاور ورودی سه محور (همان  $\underline{u}$ ) و به ترتیب در شکل‌های (۱۰) الی (۱۸) رسم شده‌اند. در

است که هرگز دچار مشکلی که در [۹] برای روش LQG مطرح شد، نمی‌شود.

## ۴-۱- فیلتر کالمون مقاوم

برای سیستمهای که ماتریسهای سیستم، مانند  $A$ ،  $\Gamma$  و یا  $C$  دارای عدم قطعیت محدود نداشت با استفاده از جبر ایتروال، فیلتر کالمون مقاوم ارایه می‌شود. برای مثال فرض کنید برای ماتریس  $A$  در مرحله  $k$  مقداری از آن را که می‌دانیم  $A_k$  باشد و  $A$  قسمتی را که نمی‌دانیم با  $\Delta A_k$  مشخص شود در این صورت  $A$  بین دو حد بالا و حد پایین محدود است که این دو حد به صورت (۱۶) است.

$$A_k^I = A_k + \Delta A_k = [A_k - |\Delta A_k| \quad A_k + |\Delta A_k|] \quad (16)$$

در اینجا نماد  $[\underline{x}, \bar{x}]$ ، نمادی است که دو حد بالا و پایین کمیت  $x$  را مشخص می‌کند و نماد جبر ایتروال نامیده می‌شود، عملگرهای این جبر، شامل چهار عمل اصلی جمع، تفریق، تقسیم و ضرب است. این عملیات به صورت (۱۷) هستند.

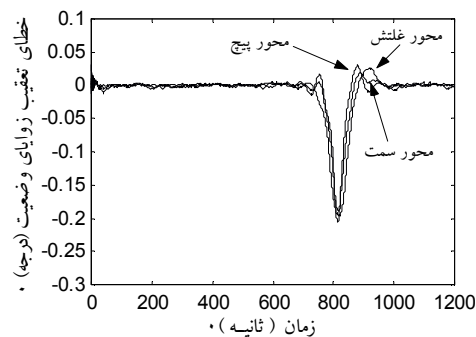
$$\begin{aligned} [\underline{x}_1, \bar{x}_1] \pm [\underline{x}_2, \bar{x}_2] &= [\underline{x}_1 \pm x_2; \bar{x}_1 \pm \bar{x}_2] \\ [\underline{x}_1, \bar{x}_1] \cdot [\underline{x}_2, \bar{x}_2] &= [\underline{y}, \bar{y}] \\ ; \underline{y} &= \min \{ \underline{x}_1 \underline{x}_2, \underline{x}_1 \bar{x}_2, \bar{x}_1 \underline{x}_2, \bar{x}_1 \bar{x}_2 \} \\ \bar{y} &= \max \{ \underline{x}_1 \underline{x}_2, \underline{x}_1 \bar{x}_2, \bar{x}_1 \underline{x}_2, \bar{x}_1 \bar{x}_2 \} \end{aligned} \quad (17)$$

$$[\underline{x}_1, \bar{x}_1] / [\underline{x}_2, \bar{x}_2] = [\underline{x}_1, \bar{x}_1] \cdot [\underline{x}_2, \bar{x}_2]^{-1}$$

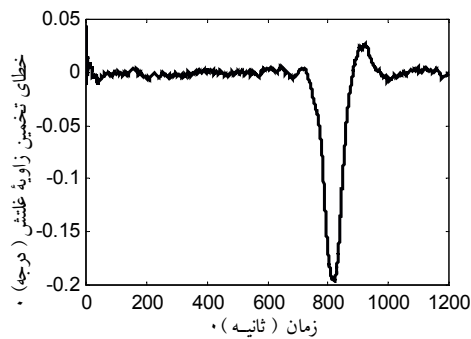
$$\text{if } 0 \notin [\underline{x}, \bar{x}] \text{ then } [\underline{x}, \bar{x}]^{-1} = [1/\bar{x}, 1/\underline{x}]$$

$$\text{if } 0 \notin [\underline{x}, \bar{x}] \text{ then } [\underline{x}, \bar{x}]^{-1} \text{ is undefined}$$

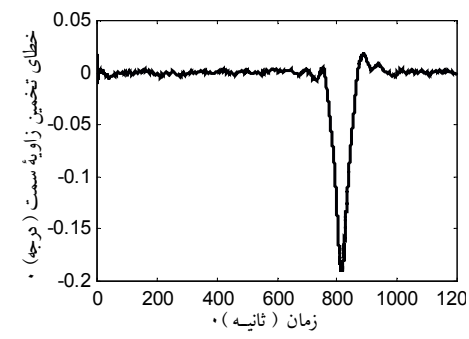
کافی است در معادلات قبلی، به جای ماتریسهایی که دارای



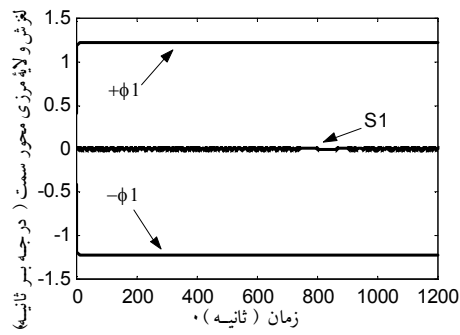
شکل ۱۰- خطای تعقیب زوایای وضعیت



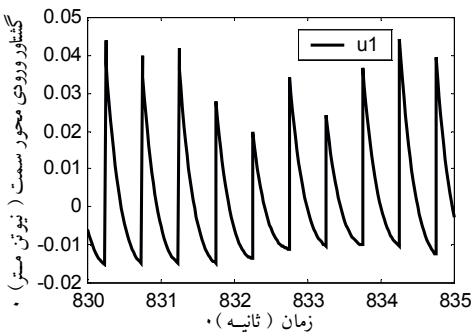
شکل ۱۲- خطای تخمین زاویه غلتش



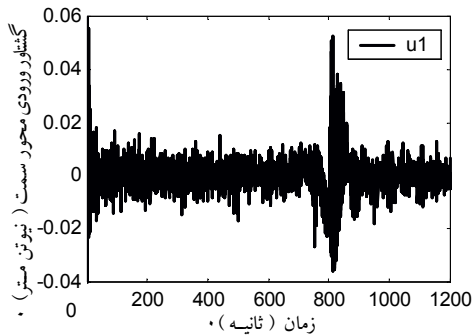
شکل ۱۱- خطای تخمین زاویه سمت



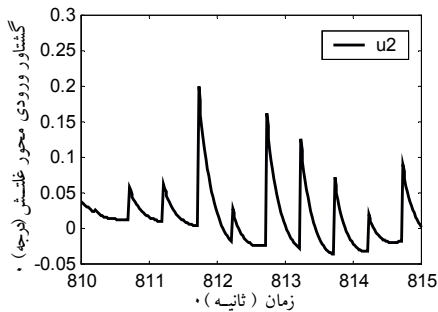
شکل ۱۴- لغزش  $S_1$  و لایه مرزی  $\phi_1$



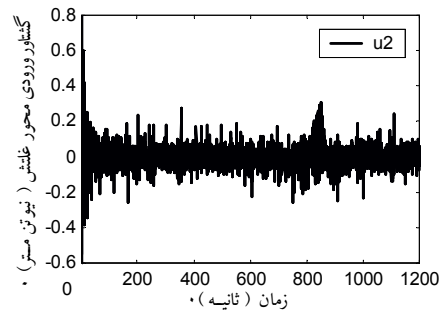
شکل ۱۵- گشتاور ورودی محور سمت یا  $u_1$  برای فاصله زمانی  $u_1$  الی ۸۳۵ ثانیه مطابق با قله  $u_1$



شکل ۱۶- گشتاور ورودی محور سمت یا  $u_1$  در تمامی طول مانور



شکل ۱۶- گشتوار ورودی محور غلتش



شکل ۱۷- گشتوار ورودی محور غلتش

جدول ۱- تغییرات خطاهای تعقیب و تخمین زوایای وضعیت سه محور و سیگنالهای کنترل نسبت به تغییر نامعینی تا ۵۰٪ و افزایش نویز تا ۳۰۰ برابر مقدار استاندارد.

درصد نامعینی	واریانس نویز نسبت به استاندارد	حداکثر خطای (تخمین   تعقیب) زوایای وضعیت بر حسب درجه			حداکثر مقدار $\underline{u}$ بر حسب N.m		
		سمت	غلتش	پیچ	N.m		
					u <sub>1</sub>	u <sub>2</sub>	u <sub>3</sub>
٪۱۰	۳ برابر	۰/۱۳۲۷   ۰/۱۳۲۴	۰/۲۴۴۵   ۰/۲۴۴۱	۰/۱۱۸۶   ۰/۱۱۷۵	۰/۰۲۹	۰/۴۷۲	۰/۴۱۶
	۳۰ برابر	۰/۱۳۳۰   ۰/۱۳۲۶	۰/۲۴۵۲   ۰/۲۴۵۱	۰/۱۲۰۰   ۰/۱۱۹۲	۰/۰۲۸	۰/۴۰۷	۰/۰۲۷
	۳۰۰ برابر	۰/۱۳۶۷   ۰/۱۳۶۳	۰/۲۴۸۲   ۰/۲۴۷۲	۰/۱۲۰۷   ۰/۱۱۹۷	۰/۰۲۷	۰/۳۸۹	۰/۳۸۲
٪۲۰	۳ برابر	۰/۱۴۶۵   ۰/۱۴۶۱	۰/۲۵۴۹   ۰/۲۵۴۹	۰/۱۵۱۸   ۰/۱۴۹۷	۰/۰۳۷	۰/۵۷۶	۰/۸۰۷
	۳۰ برابر	۰/۱۵۰۷   ۰/۱۵۰۲	۰/۲۵۶۴   ۰/۲۵۶۶	۰/۱۵۲۸   ۰/۱۵۰۸	۰/۰۳۴	۰/۳۴۸	۰/۸۴۵
	۳۰۰ برابر	۰/۱۴۷۲   ۰/۱۴۶۶	۰/۲۵۱۴   ۰/۲۵۱۵	۰/۱۵۲۰   ۰/۱۵۰۲	۰/۰۴۱	۰/۳۸۳	۰/۷۵۸
٪۳۰	۳ برابر	۰/۱۶۱۹   ۰/۱۶۰۷	۰/۲۶۲۹   ۰/۲۶۳۰	۰/۱۸۸۶   ۰/۱۸۵۶	۰/۰۴۳	۰/۳۷۲	۱/۳۳
	۳۰ برابر	۰/۱۶۱۰   ۰/۱۵۹۷	۰/۲۵۹۱   ۰/۲۶۸۰	۰/۱۸۶۷   ۰/۱۸۳۶	۰/۰۳۹	۰/۴۳۲	۱/۳۱
	۳۰۰ برابر	۰/۱۶۲۸   ۰/۱۶۱۴	۰/۲۶۳۹   ۰/۲۶۳۷	۰/۱۸۸۶   ۰/۱۸۵۴	۰/۰۴۸	۰/۳۸۵	۱/۳۲
٪۵۰	۳ برابر	۰/۲۰۲۹   ۰/۲۰۰۰	۰/۲۸۵۱   ۰/۲۸۵۱	۰/۲۶۵۲   ۰/۲۵۹۷	۰/۰۵۴	۰/۳۵۲	۲/۸۲
	۳۰ برابر	۰/۱۹۹۵   ۰/۱۹۷۰	۰/۲۷۸۲   ۰/۲۷۸۷	۰/۲۶۷۳   ۰/۲۶۱۹	۰/۰۵۲	۰/۳۴۲	۲/۸۲
	۳۰۰ برابر	۰/۱۹۷۷   ۰/۱۹۵۲	۰/۲۷۸۴   ۰/۲۷۹۱	۰/۲۶۵۶   ۰/۲۵۹۹	۰/۰۵	۰/۳۴۴	۲/۷۸

اختیار ندارند و ملزم به استفاده کردن از مشاهده‌کننده‌اند در صورت وجود عدم قطعیت در سیستم، مسئله اصلی مقاوم بودن ترکیب کنترل‌کننده و مشاهده‌کننده است و مقاوم بودن تک تک آنها، مقاوم بودن ترکیب آنها را تضمین نمی‌کند. ترکیب مشاهده‌کننده فیلتر کالمن مقاوم که بر اساس جبرایتروال پایه‌ریزی شده است با کنترل کننده مدل لغزشی با لایه مرزی تطبیقی، به دلیل خصوصیات ویژه موجود این امکان را فراهم می‌کند که به سادگی ترکیب این مشاهده‌کننده و کنترل کننده

جدول (۱) خطاهای تعقیب و تخمین زوایای وضعیت سه محور و سیگنالهای کنترل در مانور زنگوله‌ای، شکل (۱۰) نسبت به مقادیر مختلف نامعینی مدل ماهواره و نویز دستگاه اندازه‌گیری ارایه شده است. نویز استاندارد حسگر مگتومتر برابر  $[T] = 1 \times 10^{-8} \sigma_m$  است.

## ۶- نتیجه‌گیری

برای کنترل کننده‌هایی که اطلاعات وضعیت را مستقیماً در

است. ترکیب فیلتر کالمن توسعه یافته گسته و فیلتر کالمن توسعه یافته پیوسته دقیق‌تر از تک تک آنها به تنها است.

مد لغزشی را مقاوم سازد. این ترکیب دارای دقت تخمین مناسبی است و با حفظ دقت تخمین، سرعت همگرایی نیز زیاد

## واژه نامه

- |                                    |                                |                                |
|------------------------------------|--------------------------------|--------------------------------|
| 1. global positioning system (GPS) | 3. linear quadratic - gaussian | 5. LQG/ loop transfer recovery |
| 2. minimum model error             | 4. John C. Doyle               |                                |

## مراجع

1. Sedlak, J. E., "Improved Spacecraft Attitude Filter Using a Sequentially Correlated Magnetometer Noise Model," *Aviation Systems Conference 16<sup>th</sup> DASC*. AIAA/IEEE, PP (8.4-9)-(8.4-16), 1997.
2. Crassidis, J. L., Lightsey, E. G., and Markley, F. L., "Efficient and Optimal Attitude Determination Using Recursive Global Position System Signal Operations", *Journal of Guidance, Control, and Dynamics*, vol. 22, No. 2, pp. 193- 201, March- April 1999.
3. Psiaki, M. L., "Autonomous Low-Earth-Orbit Determination from Magnetometer and Sun Sensor Data", *Journal of Guidance, Control, and Dynamics*, vol. 22, No. 2, pp. 296-304, March- April 1999.
4. Wiśniewski, R., "Linear Time-Varying Approach to Satellite Attitude Control Using Only Electromagnetic Actuation, " *Journal of Guidance, Control, and Dynamics*, Vol. 23, No. 4, PP 640-647, 2000.
5. Crassidis, J. L., and Markley, F. L., "Minimum Model Error Approach for Attitude Estimation, " *Journal of Guidance, Control, and Dynamics*, Vol. 20, No. 6, pp. 1241-1247, November-December 1997.
6. Oshman, Y., and Markley, F. L., "Minimal-Parameter Attitude Matrix Estimation from Vector Observations, " *Journal of Guidance, Control, and Dynamics*, Vol. 21, No. 4, pp. 595-602, July- August 1998.
7. بلندی، ح. و رستملو، ف، "طراحی زیر سیستم تخمین وضعیت یک ماهواره LEO ، اوئین کنفرانس بین المللی هوافضای ایران، دانشگاه صنعتی شریف، ص ۱۴۷۷-۱۴۸۵ ۱۲-۱۰ دیماه ۱۳۷۹
8. ساداتی، ن. و آجرلو، ا. "طراحی کنترل کننده وضعیت به روش LQG برای ماهواره های LEO با پایدارسازی سه محوره،" اوئین کنفرانس بین المللی هوافضای ایران، دانشگاه صنعتی شریف، ص ۱۴۴۶-۱۴۳۷ ۱۰-۱۲ دیماه ۱۳۷۹
9. John, C. Doyle, " Guaranteed Margins for LQG Regulators," *IEEE Transaction on Automatic Control*, Vol. AC-23, No. 4, August 1978.
10. Lahdhari, T., and Alouani A.T., "LQG/LTR Spacecraft Attitude Control", *IEEE Proceeding of the 32<sup>nd</sup> Conference on Precision and Control*, San Antonio Texas December 1993.
11. Stein, G., Athans, and M., " The LQG/LTR Procedure for Multivariable Feedback Control Design," *IEEE Transaction on Automatic Control*, Vol. AC-32, No. 2, February 1987.
12. جعفری‌بلند، م، مومنی، ح. و ساداتی، ن، "مدل سازی ماهواره رو به زمین برای کنترل وضعیت سه محوره در غیاب اطلاعات وضعیت یک محور،" نشریه استقلال، پذیرش تیر ماه ۱۳۸۱ ، چاپ سال ۲۱، شماره ۲، اسفند ۱۳۸۱، ص ۱-۱۴.
13. جعفری‌بلند، م، مومنی، ح. و ساداتی، ن، "کنترل تعییب یک سیستم غیرخطی MIMO نامعین با استفاده از سطوح لغزش بهبود یافته بهمنظور مانورهای چرخشی با زاویه وضعیت بزرگ ماهواره برروی مدار" نشریه استقلال، پذیرش پاییز ۱۳۸۲، چاپ سال ۲۲، شماره ۱، شهریور ۱۳۸۲ ص ۲۰۳-۲۰۹
14. Jafarboland, M., Sadati, N., Momeni, H. R., and Ghodjebaklou H. "Controlling the Attitude of Linear Time-Varying Model LEO Satellite Using Only Electromagnetic Actuation," *IEEE Aerospace Conference Big Sky*, Montana, March 9-16, 2002.
15. Julie, K., and Itzhack, Y., "Evaluation of Attitude and Orbit Estimation Using Actual Earth Magnetic Field Data," *Journal of Guidance, Control, And Dynamics*, Vol. 24, No. 3, May – June 2001, pp. 619-623.
16. Yuri, B., Shtessel, "Nonlinear Output Tracking Via Nonlinear Dynamic Sliding Manifolds," *IEEE Intimation Symposium on Intelligent Control*, USA, pp. 297-302, Columbus, Ohio, 16-18 August 1994.
17. Chui, C. K., and Chen, G. *Kalman Filtering With Real Time Applications*, Springer, 1999.

18. Grewal, M. S., and Shira, M., "Application of Kalman Filtering to Gyro-less Attitude Determination and Control System for Environmental Satellite," *IEEE Proceeding of the 34<sup>th</sup> Conference on Decision & Control*, New Orleans, LA- December 1995.
19. Markle, F. I. and Berman, N., "Deterministic EKF– Like Estimator for Spacecraft Attitude Estimation," *IEEE Proceeding of the Attitude Control Conference*, Maryland, June 1994.